

グラブ浚渫にともなう浮遊土砂の生産について

中央大学理工学部
建設省土木研究所
宇多高明
中央大学理工学部
首藤伸夫
橋本宏
戸沢孝吉

1. はじめに

深海での構造物基礎建設にあたって、グラブによる浚渫を行ふ機会がふえるものと思われる。その際、大量の浮遊土砂が発生し、流れや波によつて運ばれ、環境汚染の一因となる可能性がある。ひとたび、汚染源つまり浚渫位置での浮遊土砂の濃度が与えられるならば、拡散係数はどう選ぶかなどの問題は残るにせよ、拡散方程式を数値的に解いて、浮遊土砂の分布や影響範囲をきめることは可能である。しかし、汚染源での浮遊土砂発生量の推定は、現在の所全く未知であるので、この実について数年来おこなつてきた実験例、実測例の一部を紹介し、発生の機構、影響因子などを明らかにするとともに、実験値より原型の発生量を予測するための相似律の一部について述べることとする。

2. 浮遊土砂発生の機構¹⁾

グラブ周辺に付着した土砂などが、海水中に流出して浮遊土砂となるが、その発生機構を観察により、次のように分類する。

- 1). グラブ引揚時: 海底面からグラブが離れ、海面にグラブ上端が達するまでをいう。主に、グラブ外側に付着した土砂が水にあらわれて落下し浮遊土砂の供給源となる。グラブの口に砾などがあればさまって完全に締切られはない時には、二三ガラおちる量も考慮に入れなければならない。
- 2). グラブ浮上時: 海面にグラブ上端が達したのち、グラブ下端が海面を離れる迄をいう。グラブ上面から流れおちる水の速度は、引揚時の流速(=グラブ引揚速度)とはことなるので、引揚時に流出しなかつた付着土も流れおちる。特に、開放型グラブに満杯となっている場合、土砂表面から洗いだされる量が可成りある。
- 3). 水切り時: グラブ内に残っている水を空中で切つている状態である。この時期には、グラブの口の締り具合が、浮遊土砂発生量を左右する大きな因子となる。もし、大きな砾などがはさまっている場合、流出量が増加する。このような偶然性を如何に考慮に入れるかが、最大の問題である。
- 4). グラブ投下時: 土捨て後のグラブが口を開けたまゝ水中を下降しながら水に洗われている時期をいう。グラブ内壁に付着した土砂が主な流出源となる。勿論、グラブ外側に付着したまま残ったものも流出源となる。
- 5). グラブ着底時: 海底土質が堅い場合あるいは着底速度が小さい場合には問題とならないが、軟い土に早い落下速度でグラブが衝突すると、かなりの量の土砂がまきあがる。

3. 発生量に関連のある因子

浮遊土砂量を左右する因子として、次の如きものが考えられよう。

グラブ形状条件(形、大きさ、開放型と密閉型との差など)、グラブ操作条件(引揚・投下速度、グラブ締切操作、水切り操作、掘削土量の大小、掘削場所の水深など)、海底土の条件(粒度組成、粘着力、掘削深度にともなうこれらの変化)、海象条件(潮流・波の条件、乱流の強さ、成層の度合など)。このうち、海象条件を変化させると条件が多様になりすぎるので、静水状態での実験のみを行つた。海象条件の差は、浮遊土砂量の多寡よりは、その鉛直分布・水平分布に影響するものと思われる。

4. 実験結果⁶⁾

グラブのおおよその形状は図-1にしめすようなものである。図中の斜線部がない場合を開放型、ある場合を密閉型と呼ぶ。模型実験は、幾何縮尺 $1/50$, $1/20$ 、それに対する時間縮尺は $1/50$, $1/20$ とすることとした。ただし、時間縮尺は相似律の確立していない段階では、この値にこだわることはさけた。

各影響因子は、独立ではなく、お互いにからみあいながら作用するので、実験値のなかからひとつだけをとりだして試論するのは大変に難しいし、また誤解のもととなる危険もある。シガシニでは事態をなるべく明確にするために、その危険を承知の上で、種々の組合せのうちから、なるべく單独の因子が大きな影響力をもつ特徴的な場合を選びだして試論することとする。

1) グラブ締切操作の影響：グラブを閉鎖する操作は、原型では専用鋼索によって行い、その最大力はグラブ自重とフガミ土砂重量とで決定される。したがって、ガミ合せ部の閉鎖具合は、砾など大粒径のものがはさまる確率と閉鎖力との組合せによってきまる。模型では、捲上用、開閉用とも、鋼索でなく、鋼棒をもちいた。自重が小さいので、重力のみによることに不安があったからである。

由鎖用鋼棒と人力で引揚げる由鎖方法(締切方法1)、人力で引揚げたのちスクイーを利用してさらに引揚げる由鎖方法(締切方法2)をとった。当然、方法2による方が、閉鎖が完全で一定に近いと考えられる。

底質が砂の場合、グラブ外側に付着する砂は殆んどなく、引揚時に落下する砂があっても、浮上時・水切り時にくらべると、一桁以上少なかった。また、密閉型グラブでは、浮上時に土砂表面が水に洗われるこどもないでの、流失土砂のほとんどは水切り時に生じたものである。したがって、水切り時の水もれ速度、つまりはグラブの開口具合が決定的な要素となる。

図-2は、 W_{LA} (底質が砂の場合の水切り時発生土砂重量)の全掘削土量 W_T に対する百分率の発生頻度をしめしたものである。図-2. 水切り時の流失土砂量の発生頻度。密閉型、満杯、締切方法1. 砂

平均値は5.33%，中央値は3.67%であった。生起確率は対数正規分布となつた。中央値の2倍の値の発生する確率は約20%，3倍の値のそれは約10%である。由鎖状況の差によって流失土砂量が大きく変化する事がわかる。

このように、由鎖状況のバラツキに起因して、流失土砂量が非常に大きくバラツクので、実験としてはやりにくさがあった。その後は、方法2によることとし、均一な由鎖が行えるようにした。

方法1と2とで、どれだけの差ができるかを、砂に対する開放型グラブの例で比較する。方法1(掘削土量が約半量)の場合、 W_{LA}/W_T は約20%，方法2(掘削土量グラブ満杯)の時、0.4～1.3%であった。実験條件が異なるので直接的な比較はできないが、この前者と W_{LA} が変化しないとしてグラブ満杯の場合にひきなおしてみて、も約10%程度の値となるから、由鎖方法によって非常に大きな差の生ずることは明らかである。

2) 引揚(落下)速度の影響：速度の影響は、グラブに付着した土砂を洗、落す効果を有している。

図-3は、砂の場合であって、グラブ外側に付着する土砂は少く、水中で発生した量 W_{LW} は、グラブガミ合せ部から落ちたもののが殆んどである。引揚速度の大小は影響していないといつて良い。

図-4は、底質がカオリンの場合についての結果である。引揚速度は 7cm/sec , 20cm/sec の2通りである。引揚速度が大きい程、明らかに発生量が大きい。この例では、引揚速度が約3倍になると、発生量も約3倍となる。

実験に際しては、落下時の発生量は測定しえなかった。シガシニ、捨土後のグラブに付着したまゝになっている土砂が洗われて落ちることは確かである。したがって、引揚時・投下時に発生する量は、主にグラブに付着する土

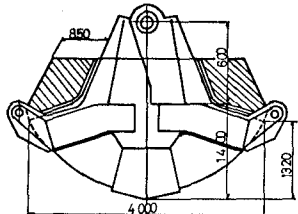
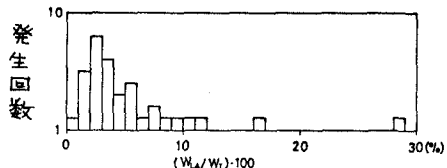


図-1. グラブ形状



砂量と等しいと考えれば、これを越えることはない。引揚速度が遅いとき、または掘削地盤の水深が浅いときには、付着土砂の全量が流出する試ではないので、この付着量をいくらか割引いたものだけが流出すると考えれば良い。

3) グラブ形状の差：表-1は、底質がカオリンの場合、両放型グラブ、密閉型グラブの比較を行ったものである。水深60cm、グラブ満杯の例である。

W_{fl} は引揚時に発生する流出土砂量、 W_{fa} は浮上時・水切り時に発生する量（カオリンの場合、締切方法Zによるとガミ合せ部が良く締められ、細かい隙間にカオリンが詰まって、水切りは殆んど行われなかった。したがって、 W_{fa} は浮上時の発生量とみなして良い）、 W_{ad} は捨土後のグラブに付着していたもので、 W_{f} はこの三者の合計である。 W_{t} は掘削全土量である。密閉型の効率は、浮上時に大きくあらわれるこことがわかる。

ただし、水中で発生する量は、外側面積の大きい密閉型の方が大きい。これと同様の傾向は、砂とカオリント等重量混合したものについても見られた。

W_{ad} は、接觸面積の大きい密閉型の方が小さくなっているが、この原因は不明である。

4) その他：実験で得られたその他の所見をまとめると、次の通りである。

- 密閉型グラブで底質が砂の場合、水深および引揚速度の影響は認められなかった。
- 密閉型グラブでは、掘削量 W_{t} と流出量 W_{f} は、ほぼ比例する。
- 両放型グラブで満杯の砂をつぶんだ場合、引揚速度が早い程、浮上時の流出量がふえる。
- 両放型グラブで砂の場合、 W_{t} がへっても W_{f} はそれ程減少しない。その原因是、水切り時に発生量が減少しないからである。
- 底質が砂のように付着量の少ない場合、流出土砂は浮上時および水切り時に生ずる。
- 浮上時および水切り時の発生量は、密閉型グラブを用いること非常に減少する。

5. 実測例⁵⁾

現地での作業状況は、おおよそ次の通りである。

東京湾内のある地盤の例では、グラブは公称能力 8 m^3 、掘削地盤の水深は約27mであった。掘削1サイクルには、約3分10秒かかる。すなわち、水面より水底まで下降するのに約30秒（投下速度 0.9 m/sec ）、掘削に20秒、掘削後水面に上昇するのに30秒、掘削土砂をバージ船に運ぶのに50秒、バージ船に捨土して再び掘削地盤までグラブを回転するのに60秒であった。

海底土の性質は、地盤毎に当然異っているが、粒径74.4μ以下のシルト、粘土などが多く含まれている箇所では、浮遊しやすい粒径のものが多いのであるから、これらの成体について十分注目しておかねばならない。

図-5は、グラブから下流約5mの地盤で行なった観測結果の一例である。図中には、海面下約2mでの水の法

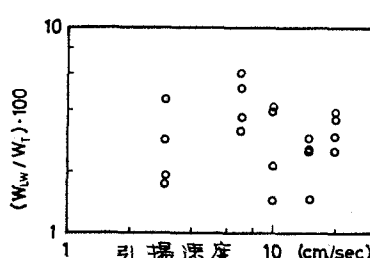


図-3. 水中発生量とグラブ引揚速度。両放型、砂、締切方法Z。
2. 水深30cm.

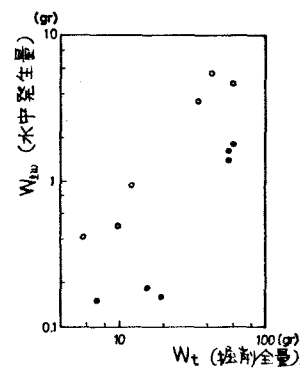


図-4. 水中発生量と引揚速度。
密閉型、カオリン、締切方法Z。
水深30cm. ● 引揚速度 7 cm/sec .
○ 引揚速度 20 cm/sec .

表-1

グラブ形状	引揚速度 cm/sec	$W_{\text{fl}}/W_{\text{t}} \times 100$	$W_{\text{fa}}/W_{\text{t}} \times 100$	$W_{\text{ad}}/W_{\text{t}} \times 100$	$W_{\text{f}}/W_{\text{t}} \times 100$
両放型	7	1.68%	6.11%	11.95%	19.74%
	20	2.72	5.17	9.63	17.52
密閉型	7	3.00	0.56	5.77	9.33
	20	6.55	1.51	4.39	12.45

度がしみされている。観測時に流速は、約 $10 \sim 15 \text{ cm/sec}$ であった。グラブ地盤からの流下時間は、30~50秒のオーダーである。図中の矢印は、グラブが浮上して水切りを開始した時刻であり、観測実験での濃度のピークは、50~60秒遅れて出現している。つまり、現地においても、濃度のピークは浮上時および水切り時に生じている証拠と考えて良い。

また、最初のピークは約100 ppm、オニのものは約250 ppmとかなり大きく変動し、これも実験での所見と一致している。

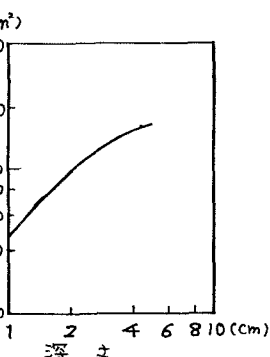
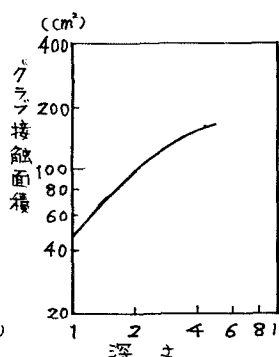
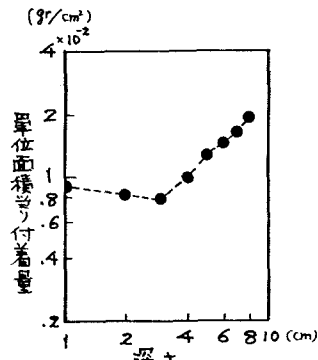
図-6は、各水深で測定した濃度を時間的に平均することによって得られた平均濃度である。海面近くに高濃度があらわれている。また、海底に近づく程、濃度値の変動は大きくなかった。このことからも、浮遊土砂は主に水面近くでのグラブの浮上時、水切り時に発生することがわかる。

6. 相似律の試み

1) 引揚時および投下時の発生量

量：これを左右する主要な因子は、グラブと土砂の接触面積、土砂の粘着力、流水の速度である。

もし、水深が



十分深く、またグラブと水との相対速度が十分に大きければ、グラブの外側および内側に付着したものが全て流出した場合が最大の発生量となる。したがって、全付着量の推定が出来ればよい。もし、単位面積あたりの付着量が同一なら、長さの縮尺が $1/5$ なら、全付着量は $1/5^2$ としてよい事となる。

所が、土によっては単位面積あたりの付着量が、海底面からの深度によつて異なるので、これを考慮に入れなければならぬ。その例を以下に示す。

カオリンを用いた実験では、まずカオリン(粒径50 μm以下、比重2.75)を水にとき、作成後4日間静置する。カオリンの付着力は、海底面下の深度によって変化し、図-7-1に示すようになる。模型グラブの掘削量

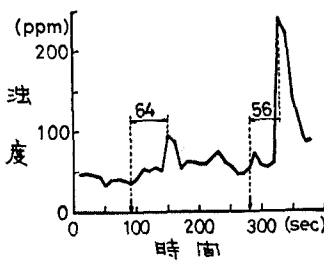


図-5 実測例

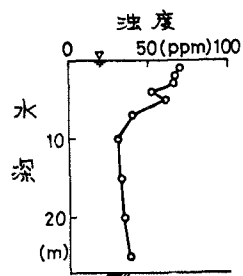


図-6 実測例

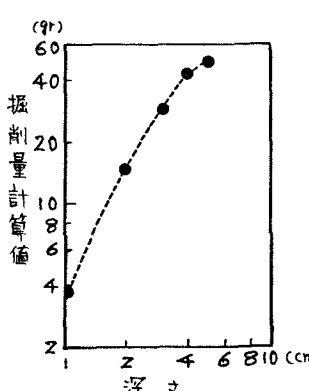


図-7-4

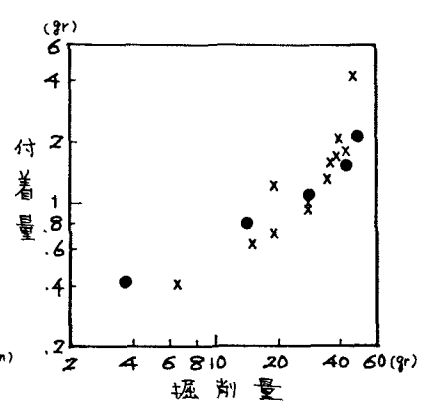


図-7. 密閉型グラブへの付着量

削深と土砂との接触面積は図-7-2のように変化するので全付着量は図-7-3のようにまとめることが出来る。全掘削深と全掘削量は図-7-4のようになる。ここで、全付着量を全掘削量の対数として計算でき、図-7-5の丸印のように求められる。同図中×印は実験値であり、両者は当然の事ながら良く一致している。

この事から、土の付着力の変化に十分注意すれば、全付着量は容易に計算され、原型での値の推定も可能な事がわかる。

2) 浮上時の発生量

グラブをまき上げる際の荷重変化の測定例がある³⁾。引揚速度の遅い時(6 m/min)と、速い時(57 m/min)とを模式的に図-8にしめす。一般には、速度の早い例が良く見られる。このとき、水中での抵抗が大きく、水面に浮上した時にはこの抵抗が急速に小さくなり、ついで空気中での差上げ荷重に変化する。これによって、水面附近での巻上げ荷重の変化は、中じたグラブ内に入っている水が流れあちるまでの水の重量が附加されるだけであると考えられている。この考え方により、空気中の巻上げ荷重を基準として、水面通過時の最大荷重の変化量をもとめると、図-9のようになる。巻上げ速度 20 m/min 以上で殆んど一定値となるが、これはグラブに水を満した時の重量と等しいことが確認された。

また、水中での抵抗力を $C_D \frac{\rho_w}{2g} A V^2$ と表現すると、或る例では、 $C_D = 2.7$ (ただし $R_d = 2.1 \times 10^4 \sim 5.3 \times 10^5$) がえられた。^{3), 4)}

引揚時・投下時の流れの速度は、静水中ならグラブの速度に比例しているが、浮上時にはこれと異なる流速があらわれ、そのため流出土砂がえる可能性がある。

グラブ周辺の水の運動は、上記の水中での抵抗の値(半球で $C_D = 1.33$) からみて、普通の考え方による類推が成立すると判断できる。

グラブの運動によつて影響をうける水の総量は、B をグラブの代表直径とすると、 $C_H B^3$ に比例することとなる。グラブ上面にある水の高さは、他の係数 C_s を使って、 $C_s C_H^{V_3} B$ に比例する。ただし、 C_s は、図-9からみて、かなり小さな値であると判断される。

グラブ上面にある高さ $C_s C_H^{V_3} B$ の水が重力の影響のもとに流出すると仮定すると、その流速は時間の関数として $U = 3B C_s C_H^{V_3} (2gB)^{1/2} / [C C_H^{V_3} C_H^{V_3} (2gB)^{1/2} + 3B]$ となる。ここに C は新しい定数である。もし、流出土砂量を $\theta = K U^n$ をみたすならば、総流出土砂量は $B^2 \int \theta dx$ であるから。

$$(\text{浮上時の流出量}) / (\text{全掘削量}) \propto B^{\frac{n-1}{2}}$$

となる。いくつかの大きさの異なる模型を使ってこの値をきめれば良い。

3) 水切り時の流出：この時期の流出量に大きく影響するのは、グラブ肉鎖の状態である。その例を図-2にしめしたが、流出量に大きなバラツキの生ずる原因となっていた。図-10は、図-2を書きなおしたものであるが、明らかに対数正規分布となつてゐる。実験においてもグラブ締切操作に、現実に近い状態でバラツキが生ずる必要がある。

そこで、グラブを肉鎖する力がどうなるかを考えよう。^{1), 2)}

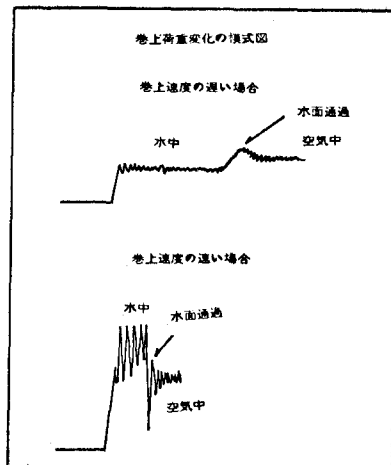


図-8. 巻上げ荷重変化の模式図

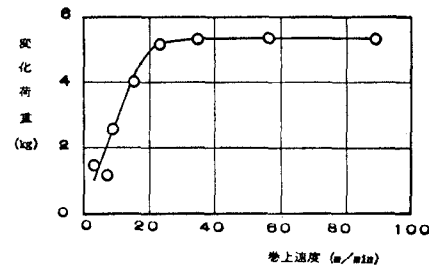


図-9. 水面付近を通過する際の荷重変化

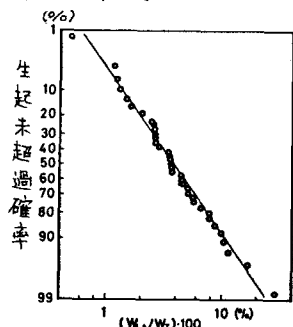


図-10. 水切り時発生量

今、グラブ自重を W_g 、全掘削量を W_T とすると、床面用ワイヤーにかかる力 T_x は、

$$T_x = W_g + W_T$$

である。また、グラブ耐久長さ L 、グラブ刃幅 B とすると、

$$W_T / W_g \propto K L [B / W_g]^{v_2}$$

が成立する範囲でグラブ操作が行われるのが普通である。Kは、グラブ型式、床面用ケーブル巻きかけ数、土質によって異なる定数であって、 $\rho_g^{1/2} m^{-3/2}$ の単位を有する。Kはグラブの縮尺によっては変化しない（実例では、 $0.05 m^3$ と $0.005 m^3$ のグラブで、定数である）。

長さの縮尺を $1/S$ とすると、 $B \propto 1/S$ 、 $L \propto 1/S$ 、 $W_T \propto 1/S^3$ であり、 $W_g^{v_2} \propto W_T L^v B^{-v_2} \propto 1/S^3 \cdot (1/S)^{-v_2} \propto S^{-3+v_2}$ つまり、 $W_g \propto 1/S^3$ と縮尺し、 $T_x \propto 1/S^3$ と縮尺することとなる。この力で開拓した時に生ずる障害は、長さの縮尺で縮めたものとなつておる。そこを出てゆく水の流速は $1/S^{v_2}$ で縮めたものとなつておる。残留水の出て行く時間は $1/S^{v_2}$ で縮められる。単位時間単位幅あたりの流出土砂量 q が $q \propto v^m \propto (1/S^{v_2})^m$ であることにすると、全発生量は $q B^2 t \propto (1/S)^{\frac{m-1}{2}}$ の縮尺にしたがう。

7. 発生源濃度分布モデル

浮上時、水切り時、引揚時および投下時では、それそれ異なる相似律を考えなければならないので、別々にまとめた後、原型にひきなおして、加えあわせる。この時、次の様にすれば良いであろう。

引揚時・投下時に発生する土砂量は、グラブ内外面に付着した量に等しいと考え、これが鉛直方向に一様に分布するものとする。

浮上時、水切り時のものは、別個にもとめたのち加えあわせ、水面下 d (m) の間に等濃度で分布するとおく。 d の大きさは、成層の発達する夏季では、この成層の厚さと同じとする。3~5 m の程度であろう。冬季に d をきめるのは、非定常重力噴流とともに乱流強度が場の乱流強度と同程度となる深さであろうが、今後の検討が必要とする問題である。

8. おわりに

グラブ浚渫とともに浮遊土砂発生の特徴と問題点が明らかとなつた。今後は、実験を重ねるとともに、実測値を増やし、実際の予測に役立つものにして行くつもりである。

引用文献

- 近藤ほか：浚渫用グラブの研究（第一報）グラブ自重、寸法比とつがみ土量の関係、港研報告 Vol.4, No.7, pp.1~13, 1965
- 岩田：浚渫用グラブの研究（第二報）グラブの相似と掘削限界および床面用鋼索の巻きかけ数について、Vol.5, No.7, pp.1~28, 1966
- 岩田：浚渫用グラブの研究（第三報）グラブの耐荷強度および水中における巻上げ時の抵抗について、Vol.6 No.3, pp.1~17, 1967.
- 岩田・高砂：グラブバケットの落下時衝撃試験およびつがみ特性試験（第二報）、港研資料 No.68, pp.19~42, 1966
- 建設省土木研究所海岸研究室：昭和50年度道路事業調査報告書 1.3.1 潮流調査, pp.400~406
昭51
- 建設省土木研究所海岸研究室：海水汚濁の拡散に関する試験調査, pp.129~136, 昭51.